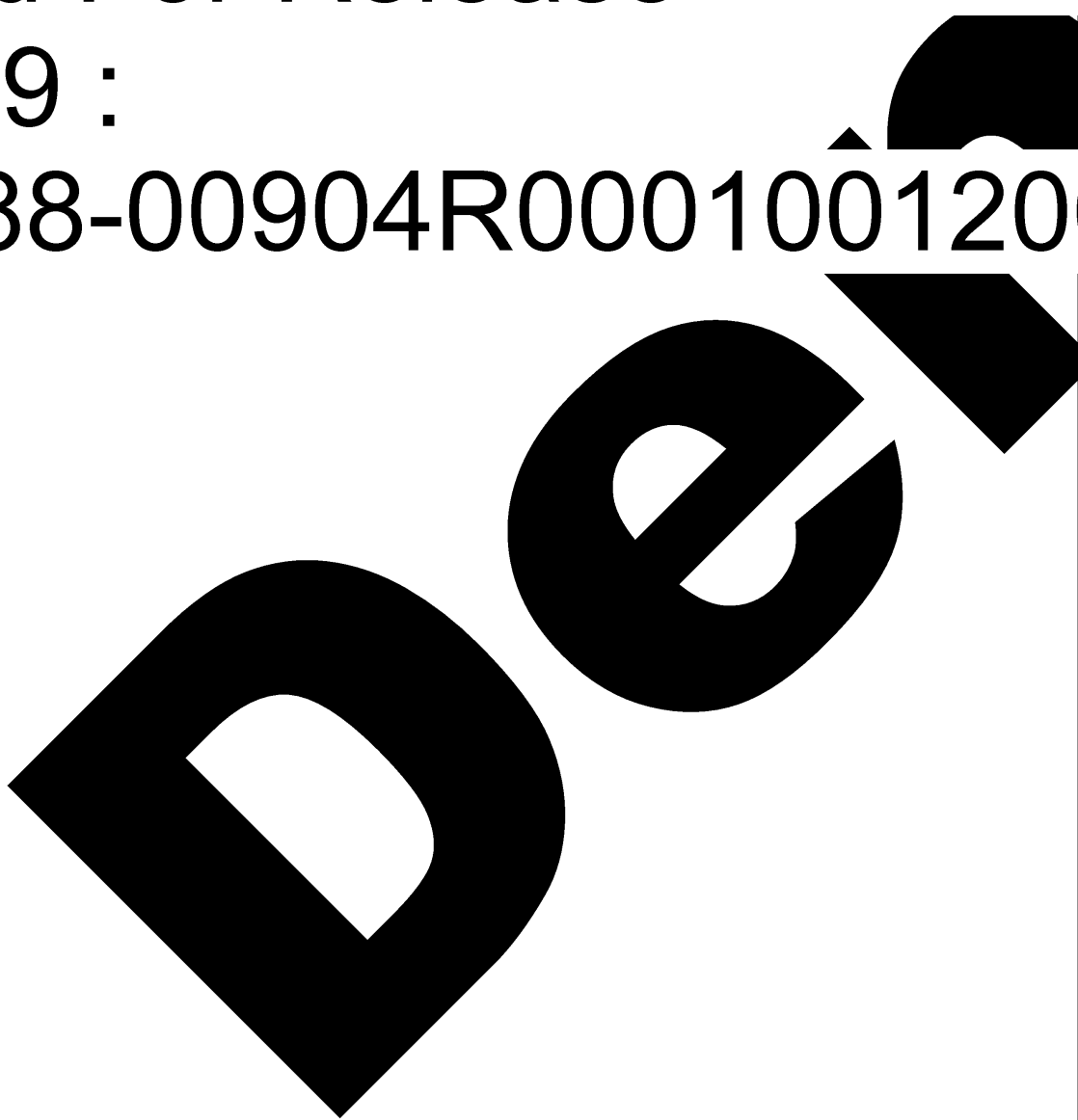
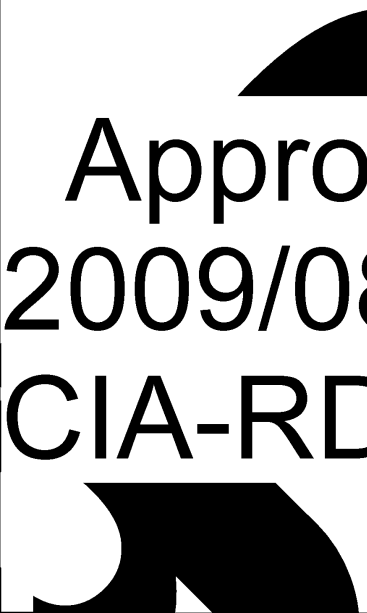


Approved For Release STAT
2009/08/19 :
CIA-RDP88-00904R000100120



Approved For Release
2009/08/19 :
CIA-RDP88-00904R000100120





**Вторая Международная Конференция
Организации Объединенных Наций
по применению атомной энергии
в мирных целях**

A/CONF/15/P/2193
USSR
ORIGINAL: RUSSIAN

Не подлежит оглашению до официального сообщения на Конференции

25 YEAR RE-REVIEW

ДВОЙНЫЕ ДИАГРАММЫ СОСТОЯНИЯ:

UO₂ - Ae₂O₃, UO₂ - BeO, UO₂ - MoO

П.П.Будников, С.Г. Тресвятский, В.И.Кушаковский.

Работа по изучению взаимодействия окислов урана с другими окислами проводилась с 1952 г. по 1956 г. За это время некоторые авторы опубликовали результаты исследования упомянутых выше систем. Однако отличие наших данных от данных, опубликованных в литературе, и различные точки зрения разных авторов на характер взаимодействия в системе UO₂ - MoO₃ явились причиной появления настоящего доклада.

МЕТОДИКА ИССЛЕДОВАНИЯ И ИСХОДНЫЕ МАТЕРИАЛЫ.

Для исследования систем были применены следующие методы:

1. метод отжига и закалки;
2. метод высокотемпературного термического анализа;
3. метод деформации конусов;
4. метод плавления образцов или порошков смесей в молибденовых или вольфрамовых тиглях.

Отжиг и закалка образцов производилась в печи с угольной нагревательной трубой (I).

Для создания внутри печи инертной газовой среды, через печь пропускался аргон, осущенный над KOH и P₂O₅. Имеющийся в аргоне кислород поглощался медными стружками, нагретыми до 600°. Образцы в печи подшивались на молибденовых проволоках в молибденовых тиглях. Температуру измеряли оптическим пирометром с исчезающей нитью, проградуированным в условиях опытов по температурам плавления неко-

- 2 -

торых высокоогнеупорных соединений и эвтектик ($\text{Ca Al}_2\text{O}_4$, Mg_2SiO_4 , Al_2O_3 , эвтектики в системах $\text{BeO}-\text{ThO}_2$ и $\text{CaO}-\text{ThO}_2$, BeO, CaO , Mo , ZrO_2). Закалка образцов происходила при сбрасывании их в нижнюю часть печи, охлаждаемую снаружи водой.

Фазовый анализ закаленных образцов производили путем снятия порошковых рентгенограмм на отфильтрованном 'см -излучении в камерах диаметром 57,86 или 114 мм и просмотра шлифов в отраженном свете. Состав образцов после термической обработки определяли химическим анализом.

Высокотемпературный термический анализ производили по методике, разработанной нами ранее (2). Для измерения температур использовали вольфрамо-молибденовые термопары, применение которых позволяло производить термический анализ до 2200° . Термопары градуировали в условиях опытов по температурам плавления высокоогнеупорных соединений.

Определение температур плавления методом деформации конусов производили по методике, описанной нами ранее (3).

Метод плавления в тиглях заключался в визуальном определении момента расплавления вещества в тигле и в оценке степени расплавления по характеру мениска расплава после охлаждения тигля. Кроме того, определение температур солидуса и ликвидуса производилось путем сравнения микроструктур или внешнего вида образцов, закаленных с различных температур.

Состав эвтектик определяли химическим анализом медленно за-кристаллизованных сплавов, микроструктура которых отвечала структуре чистой эвтектики.

В качестве исходных материалов применяли двуокись урана и окислы алюминия, бериллия и магния высокой степени чистоты. Содержание в них примесей по данным спектрального анализа приводится в табл. I.

Смеси окислов составлялись через 5-10 мол.%, а в отдельных случаях через 1-2 мол.%. Смешение производилось совместным растворением окислов в ступке.

- 3 -

Таблица I.Результаты спектрального анализа окислов

Элемент. Оксид	Na	Be	Mg	Ca	Al	Si	Ti	Fe	Ni	Co	Mn	C_2
Al_2O_3	10^{-1}	не опр.	10^{-2}	нет		$>10^{-2}$	10^{-2}	$>10^{-2}$	нет	нет	нет	не опр.
BeO	$<10^{-2}$		10^{-2}	не опр.	10^{-2}	10^{-1}	не опр.	$<10^{-4}$	-3	$3 \cdot 10^{-3}$	$3 \cdot 10^{-3}$	нет
MgO	нет	$<10^{-4}$			не опр.	не опр.	не опр.	$<10^{-4}$	нет	$<10^{-1}$	$<10^{-3}$	$<10^{-3}$
UO_2	10^{-2}	10^{-4}	10^{-1}	$3 \cdot 10^{-4}$	10^{-3}	$<3 \cdot 10^{-3}$	не опр.	-4	$5 \cdot 10^{-4}$	нет	не опр.	10^{-3}
Чувств. метода	10^{-3}	10^{-4}			10^{-4}				10^{-4}	10^{-4}	10^{-4}	10^{-4}

СИСТЕМА $UO_2 - Ae_2O_3$

Результаты рентгенографического исследования образцов из смесей двуокиси урана с окисью алюминия, закаленных с различных температур, приведены в таблице 2.

Таблица 2.
Результаты исследования образцов из двуокиси урана с окисью алюминия.

Состав образцов шол. %		Условия термической обработки образцов						Результаты рентгено- графического исследо- вания	
Экстовой	по хим. анализу	температура пред- варитель- ного обра- зования	время выдерж- ки	сред- да	условия охлажде- ния				
UO_2	Ae_2O_3	UO_2	Ae_2O_3	с					
I	2 : 3	4	5	6	7	8	9	10	
20	80	19	81	1600	1700	6 ч	argon	закален.	$UO_2, \alpha=5, 457$ кК
20	80			1900	30 м	"	--	$UO_2, \alpha=5, 457$ кК	$\text{линий } Ae_2O_3,$
									очень слабые
									$\alpha=511$ кК
									$\alpha=5021$
20	80			Расплавлен.	1400	10 ч	"	--	$UO_2, \alpha=5, 458$ кК
35	65				1920	30 м	"	--	$Ae_2O_3, \alpha=5, 458$ кК,
									$\alpha=528$

- 5 -

Прод. табл.2.

I	2	3	4	5	6	7	8	9
40	60	38	62	1900	30м	Вакуум	охл.с	10
					-I	10	печью	
						ММ		
						РТ.СТ.		
50	50			2000	10м	аргон	-"-	$\mu O_2, \alpha = 5,458$ кХ, одна линия Al_2O_3 , совпадающая с линией на эталон- ной рентгенограм- ме.
60	40			1600	4ч	-"-		$\mu O_2, \alpha = 5,458$ кХ
80	20			1800	3ч	-"-		$\mu O_2, \alpha = 5,458$ кХ
								Закален.
								Расплав- лен.

- 6 -

Из данных, приведенных в табл.2, следует, что в системе $\text{UO}_2 - \text{Al}_2\text{O}_3$ в интервале температур 1400-1900° существуют в равновесии две фазы- двуокись урана и окись алюминия (корунд). Периоды решеток окислов не изменяются с изменением состава и температуры отжига образцов, что указывает на отсутствие в системе новых химических соединений и твердых растворов.

При изучении макроструктуры плавленых образцов, в некоторых сплавах двуокиси урана с окисью алюминия было обнаружено наличие двух, а иногда и трех горизонтальных слоев. Изучение микроструктуры этих слоев показало, что при плавлении или кристаллизации сплавов происходит ликвация вследствие различия удельных весов корунда ($4 \text{ г}/\text{см}^3$), двуокиси урана ($\text{II} \text{ г}/\text{см}^3$) и эвтектики ($7,4 \text{ г}/\text{см}^3$ - по расчету). Было установлено, что в сплавах, содержащих избыток окиси алюминия против эвтектического, происходит всплыивание кристаллов корунда, а в сплавах, содержащих избыток окиси урана, опускание на дно тигля кристаллов двуокиси урана. См.рис.1 и 2. Ликвация происходит наиболее интенсивно при плавлении смесей и слабее - при затвердевании расплавов. Исследование микроструктуры сплавов двуокиси урана с окисью алюминия подтвердило сделанный вывод о том, что система $\text{UO}_2 - \text{Al}_2\text{O}_3$ является простой эвтектической системой. Эвтектика содержит 74 мол.% Al_2O_3 и 26 мол.% UO_2 . Температура плавления эвтектики - $1900 \pm 10^\circ$. Это также было подтверждено высокотемпературным термическим анализом. На всех кривых нагревания и охлаждения, снятых со смесей, содержащих от II до 96 мол.% Al_2O_3 , наблюдается эффект кристаллизации или плавления эвтектики при температуре $1900^\circ \pm 10^\circ$.

В результате проведенных исследований была построена диаграмма состояния $\text{UO}_2 - \text{Al}_2\text{O}_3$, представленная на рис. За.

Предлагаемая нами диаграмма состояния системы $\text{UO}_2 - \text{Al}_2\text{O}_3$ отличается от ранее опубликованной Ламбертсоном и Мюллером (4 рис. Зб) отсутствием области расслаивания в жидким состоянии и, в связи с этим, иным положением линий ликвидуса. Причина ошибочных выводов Ламбертсона и Мюллера заключается в том, что они

- 7 -

приняли осаждение кристаллов UO_2 в сплавах $\text{UO}_2 - \text{Be}_2\text{O}_3$ за явление несмешиваемости двух жидкостей. Наши данные об отсутствии в изученной системе новых химических соединений и твердых растворов совпадают с результатами Ламбертсона и Мюллера (4) и Ланга с сотрудниками (5). Результаты исследования Ланга с сотрудниками (6) по определению температур солидуса и ликвидуса смесей, прилегающих к эвтектической, совпадают с нашими результатами.

СИСТЕМА $\text{UO}_2 - \text{BeO}$.

Результаты рентгенографического исследования фазового состава смесей двуокиси урана с окисью берилля после различной термической обработки приведены в таблице 3.

Из данных, приведенных в табл. 3, следует, что в системе $\text{UO}_2 - \text{BeO}$ в интервале температур $1400-2200^\circ$ находятся в равновесии две фазы — двуокись урана и окись берилля. Периоды решеток двуокиси урана и окиси берилля не изменяются с изменением состава и температуры, что указывает на отсутствие в системе $\text{UO}_2 - \text{BeO}$ новых химических соединений и твердых растворов. При изучении микроструктур сплавов была обнаружена ликвация по удельному весу, подобная вышеописанной ликвации в сплавах $\text{UO}_2 - \text{Al}_2\text{O}_3$. Однако ликвация в системе $\text{UO}_2 - \text{BeO}$ выражена слабее, что объясняется, повидимому, большей вязкостью расплава эвтектики в этой системе.

На основании рентгенографических, микроскопических и термографических исследований было установлено, что в системе имеется эвтектика между UO_2 и BeO , содержащая 68 мол % окиси берилля и 32 мол.% двуокиси урана. Температура плавления эвтектики $2170 \pm 20^\circ$. Построенная на основании этих данных диаграмма состояния системы двуокись урана — окись берилля представлена на рис. 4а.

Наши результаты совпадают с результатами Ланга с сотрудниками (5), которые не обнаружили образования новых химических соединений и твердых растворов в системе $\text{UO}_2 - \text{BeO}$ в интервале $800-1800^\circ$. Однако состав эвтектики значительно отличается от состава (63 мол.% BeO), найденного Лангом с сотрудниками (6).

Результаты исследования образцов из смесей

uO_2 с BeO

Таблица 3.

Достав. мол. % по хим. анализу				Условия термической обработки образцов				Результаты рентгено- графического анализа			
BeO	uO_2	BeO	uO_2	Темпера- тура $^{\circ}C$	Время выдерж- ки	Среда	Условия охлажде- ния				
1	2	3	4	5	6	7	8				
100	0			Плавле- ный				охл. с печью			
99,7	0,3			1700	2 ч			аргон			
90	10	93	7	1800	2 ч			вакуум 10^{-1} mm рт. ст.			
90	10	91	9	1700	2 ч			закален			
80	20	81	19	2200	10 ч						

18

2834-57

- 9 -

Прод.табл.№ 3

<u>I</u>	2	3	4	5	6	7	8	9
80	20			1400	104	аргон	закален.	$uO_2, \alpha=5,458$ кX
70	30			2000	14	-" -	" -	$uO_2, \alpha=5,458$ кX
50	50			1700	24	"	"	$uO_2, \alpha=5,457$ кX
20	80	21	79	1700	24	"	"	$uO_2, \alpha=5,458$ кX

- 10 -

СИСТЕМА $UO_2 - MgO$

Результаты, полученные нами при рентгенографическом исследовании образцов из двуокиси урана и окиси магния, закаленных с различных температур, приведены в таблице 4.

Из данных, приведенных в табл. 4, следует, что период решетки двуокиси урана зависит как от температуры закалки образцов, так и от содержания в образцах окиси магния. (рис. 5). Для выяснения составов образующихся твердых растворов свободную окись магния из сплавов выщелачивали 3-5M раствором хлористого аммония и в нерастворимом остатке определяли содержание урана и магния, с одновременным рентгенографическим определением периода решетки твердого раствора. Полученная зависимость периода решетки твердого раствора от состава представлена на рис. 6.

То обстоятельство, что растворимость окиси магния в двуокиси урана зависит от избытка окиси магния, указывает, что система $UO_2 - MgO$ не является истинной конденсированной системой, а является каким-то разрезом тройной системы $UO_2 - MgO - O$, причем источником кислорода, повидимому, является сама окись магния вследствие ее термической диссоциации при нагревании. Поэтому представляло интерес изучение системы $UO_2 - MgO$ в газовой среде, содержащей кислород, например, в среде воздуха. Повышение растворимости окиси магния в двуокиси урана в этом случае явились бы подтверждением высказанных точек зрения.

Такие исследования были проведены. Образцы из смесей двуокиси урана с окисью магния до температуры 1700° нагревали в среде воздуха в криптолевой печи при свободной циркуляции воздуха. Плавление образцов производилось в вольтовой дуге по методике, описанной нами ранее (7).

Результаты рентгенографических и микроструктурных исследований образцов, нагретых в среде воздуха, приведены в таблице 5.

Из данных, приведенных в табл. 5, следует, что двуокись урана с окисью магния образует в среде воздуха ограниченную область твердых растворов с решеткой двуокиси урана и содержанием окиси магния до 37 мол. % (при т-рах $1600-1750^{\circ}$). Зависимость перио-

2834-52

- II -

Таблица 4
 Результаты рентгенографического исследование смесей
 двухокиси урана с окисью марния в аргоне.

Состав смеси, %	Условия термической обработки образцов	Результаты рентгенографии	Результаты рентгеноанализа						
			По ходу анализа	Последовательный обогащ.	Время выдержки	Условия охлаждения			
MgO и O ₂	MgO и O ₂	°C	°C	a _{uO₂} , кx	a _{uO₂} , кx				
99 I	2	3	4	5	6	7	8	9	10
90 I	10	90	10	10	2300	30 м	охл. с печью	5,43	4,204
90 I	10	90	10	I300	I0 ч	закален.	5,4553	4,204	
90 I	10	90	10	I500	6 ч	"	5,455	4,205	
90 I	10	90	10	I700	4 ч	"	5,445	4,204	
90 I	10	88	I2	I700	6 ч	"	5,443	4,205	
90 I	10	85	I5	I700	7,5 ч	"	5,441	4,204	
90 I	10	80	I0	2000	3 ч	"	5,438	4,203	
90 I	20	78	22	2000	I0 м	"	5,437	4,203	
80 I	20	78	I800°	2300	I ч	охл. с печью	5,434		
80 I	20	78	I800°	2000	2 ч	"	5,434		
80 I	20	78	I800°	2000	30 м	закален.	5,44		
80 I	20	78	I800°	2000	6 ч	"	5,439		

Прод.табл.4

1	2	3	4	5	6	7	8	9	10
55	45	55	45	45	50	700	3 ч	закален	5,4515
55	45	55	45	45	50	1700	8 ч	- II -	5,451
55	45	55	45	45	50	2000	1 ч	"	5,449
55	45	55	45	45	50	2000	2 ч	"	5,446
50	50	70	70	70	70	2300	30 м	охл.с печью	5,435
30	70	24	76	70	70	1700	1 ч	закален	5,454
30	70	24	76	70	70	1700	4 ч	- II -	5,4537
30	70	20	80	20	80	2300	10 м	охл.с печью	5,446
20	80	20	80	20	80	2000	2 ч	закален.	5,454
10	90	90	90	90	90	2000	1 ч	- II -	5,456
10	90	90	90	90	90	2300	10 м	"	5,453

Слабые ли-
нии окиси
магния.Линий окиси
магния
нет

- 13 -

да решетки твердых растворов от состава приведена на рис. 7.

На основании этих данных была построена ориентировочная диаграмма состояния системы MgO в среде воздуха в температурном интервале $1500\text{--}2800^\circ$. Построенная диаграмма состояния представлена на рис. 8. Очевидно, что, если кислород способствует растворению MgO в Mg_{2+x} , то нагревание твердых растворов, полученных на воздухе, в бескислородной газовой среде должно приводить к их распаду. Это было подтверждено экспериментально путем нагревания образца твердого раствора, содержащего 33 мол. % MgO , при 2000° в среде аргона. Выпадающую из твердого раствора окись магния обнаруживали микроскопически в шлифе в виде округлых зерен, а период решетки твердого раствора при этом увеличивался с 5,27 \AA до 5,451 \AA , и в твердом растворе сохранялось только около 8 мол. % окиси магния.

На основании приведенных данных можно было предположить, что в идеализированном виде, без учета окисления двуокиси урана кислородом окиси магния при температурах выше 1500° , система Mg_2 — MgO является простой эвтектической.

Проведенные определения температур ликвидуса и солидуса этой системы подтвердили правильность сделанного предположения. Построенная на основании этих данных идеализированная диаграмма состояния Mg_2 — MgO представлена на рис. 9.

Необходимо отметить, что и в этой системе наблюдается ликвация с участием твердых фаз, подобная описанной выше для систем UO_2 — Ne_2O_3 и UO_2 — BeO .

Расслаивание жидких фаз, найденное Ламбертсоном и Мюллером (4, рис. 10), нами обнаружено не было. Установленный состав эвтектики (53 мол. % MgO) также значительно отличается от состава эвтектики, приводимого в вышецитированной работе.

Результаты Ланга с сотрудниками (5), которые не обнаружили взаимодействия между Mg_2 и MgO в интервале $400\text{--}1800^\circ$, подтверждают наши выводы об отсутствии растворимости окиси магния в двуокиси урана стехиометрического состава. Согласно Ламбертсону и Мюллеру (4) в системе Mg_2 — MgO выше 1200° происходит окисление Mg_2 до Mg_{2+x} кислородом окиси магния, однако свои выводы эти авторы сделали только на основании понижения периода

Таблица 5.

Результаты рентгенографического и микроструктурного анализа образцов, нагретых на воздухе.

Состав мол. %				Время выдержки (мин)	Содержание кислорода	Результаты фазового рентгеновского анализа	Результаты микроструктурного анализа
Шихтой	по хим. анализу	Temperatura	o C				
MgO	MgO	MgO	MgO	60	MgO _{2,62}	Решетка Mg ₃ O ₈	
100		1450		40	MgO _{2,26}	Решетка Mg ₂	a=5,423
100		1550					
100		1600		15	MgO _{2,241}	Решетка Mg ₂	a=5,426
100		1700		15	MgO _{2,236}	Решетка Mg ₂	a=5,426
—	—	—	—	—	—	—	—
90	10	89	II	15	—	Решетка Mg ₂	Одна фаза
80	20	80	20	30	—	Решетка Mg ₂	"
67	33	66	34	30	—	Решетка Mg ₂	"
50	50			10	—	Решетка Mg ₂	—
33	67			10	—	Решетка Mg ₂	—

2834-57

-15-

Прод.табл.5.

1	2	3	4	5	6	7	8	9
80	20							
67	33							
33	67							
100								
67	33							
50	50							
33	67							

15	I	Решетка μO_2 , a=5,338	Округлые зерна, специализированные эвтектикой,	Чистая эвтектика, встречается отдельные дендриты $\frac{MgO}{MgO}$.
12	I	Решетка μO_2 , a=5,266	Округлые зерна	Округлые зерна
12	I	Решетка μO_2 , a=5,26 есть линии решетки MgO	есть линии решетки MgO	окруженные эвтектикой.
2800±100	I	Решетка μO_2 , a=5,455	Решетка μO_2 , a=5,27	Решетка эвтектика,
1900±50	I			встречается отдельные дендриты $\frac{MgO}{MgO}$.
1750±50	I			Округлые зерна
1850±30	I			окруженные эвтектикой.

- 16 -

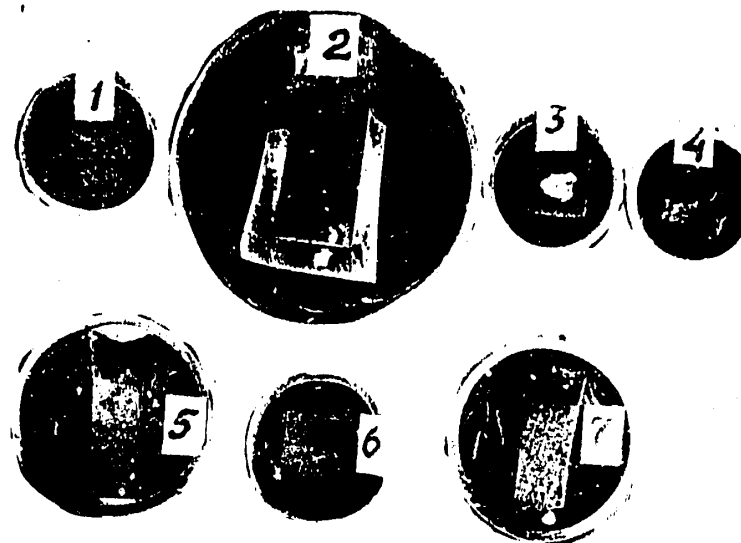
решетки двуокиси урана; твердые растворы авторы не пытались обнаружить никакими другими методами.

Результаты наших исследований по изучению взаимодействия UO_2 с MgO в твердых фазах частично совпадают с результатами Андерсона и Джонсона (8). Как правило, совпадают результаты тех опытов, которые Андерсон и Джонсон (8) проводили в тиглях из tantalа при высоких температурах, и не совпадают результаты опытов, проведенных в тиглях из окиси магния при низких температурах (до 1700°). По их данным максимальная растворимость MgO в UO_2 наблюдается при 1100° . Однако для опытов при низких температурах Андерсон и Джонсон (8) использовали смеси, приготовленные совместным осаждением гидроокисей (Mg^{+2} и U^+) и, как указывают сами авторы, частично окисленные. Окисленный осадок являлся источником кислорода, который способствовал растворению окиси магния в двуокиси урана при низких температурах.

2834 - 57

Л И Т Е Р А Т У Р А

1. Löwenstein E., Elektrische Hochtemperaturöfen bis 3300°C, Z. f. anorg. und allg. Chem., I54, I73-I77, (I926)
2. Будников П.П. и Тресвятский С.Г., Методика высокотемпературного термического анализа, Огнеупоры, (№ 4), I66-I73, (I955)
3. Будников П.П. и Тресвятский С.Г., Диаграмма плавкости системы CaO-CaF, ДАН СССР, 89, (№3), 479-482, (I953)
4. Lambertson W.A. and Mueller M.H., Uranium Oxide Phase Equilibrium Systems: I, UO₂-Al₂O₃-, II, UO₂-MgO. J. Am.Cer.Soc., 36, (№ I0), 329-334, (I953)
5. Lang S.M., Fillmore C.L., Roth R.S., N.B.S. Interim Report to AEC, 1952./ Взято из "An Annotated Bibliography of selected References on the Solid-State Reactions of the Uranium Oxides" by Lang S.M. Washington/.
6. Lang S.M., Knudsen F.P., Fillmore C.L. and Roth R.S., High-temperature Reaction of Uranium dioxide with various Metal Oxides, N.B.S.C. - 568, Washington, 1956.
7. Будников П.П. и Тресвятский С.Г., Методика определения температуры ликвидуса и солидуса при изучении диаграмм плавкости и диаграмм состояния высокоогнеупорных окислов, Сб. Физико-химические основы керамики, Промстройиздат, М-1956.
8. Anderson J.S. and Johnson K.D.B., The Oxides of Uranium. Part III. The System UO₂-MgO-O. J.Chem.Soc., 1731-1737, /1953/.



2834-57

Рис.I. Полированные вертикальные разрезы сплавов двуокиси урана с окисью алюминия х 2.

1.	78	мол.%	Al_2O_3	, температура	1950°
2.	71	"	"	"	1910°
3.	65	"	"	"	2050°
4.	65	"	"	"	2070°
5.	60	"	"	"	1900°
6.	50	"	"	"	2000°
7.	40	"	"	"	2300°

-19-



2834-58

Рис.2. Микроструктура слитка на границе двух слоев. Светлые окружные зерна и дендриты - двуокись урана, окруженная эвтектикой. 50 мол. % Al₂O₃, т-ра 2000°, x 200

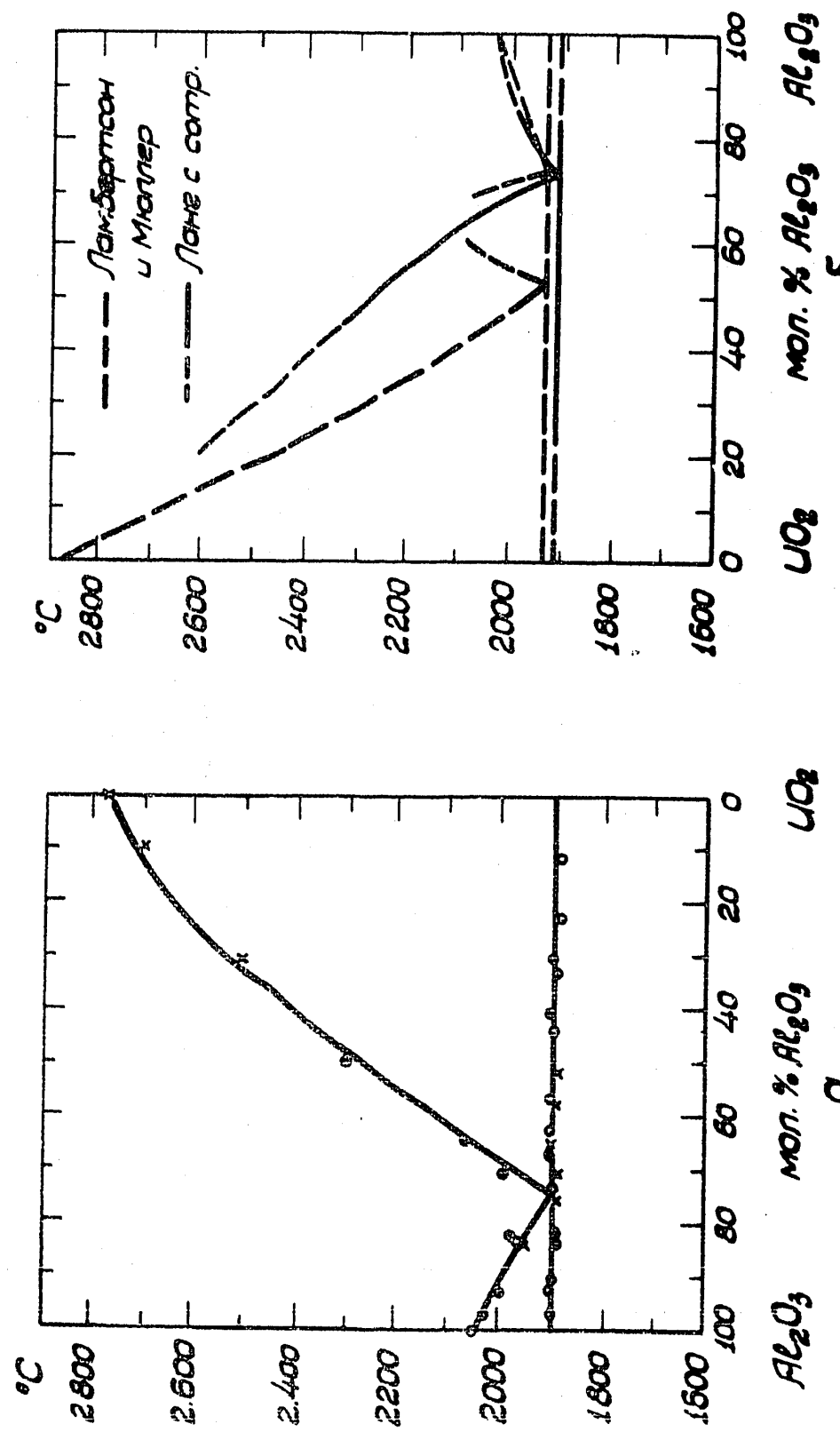


Рис. 3. а. Диаграмма состояния системы $\text{Al}_2\text{O}_3 - \text{UO}_2$
по данным авторов.
б. Диаграмма состояния системы $\text{Al}_2\text{O}_3 - \text{UO}_2$
по Ламберсону и Моллеру и
Лангу с сотрудниками

2834-57

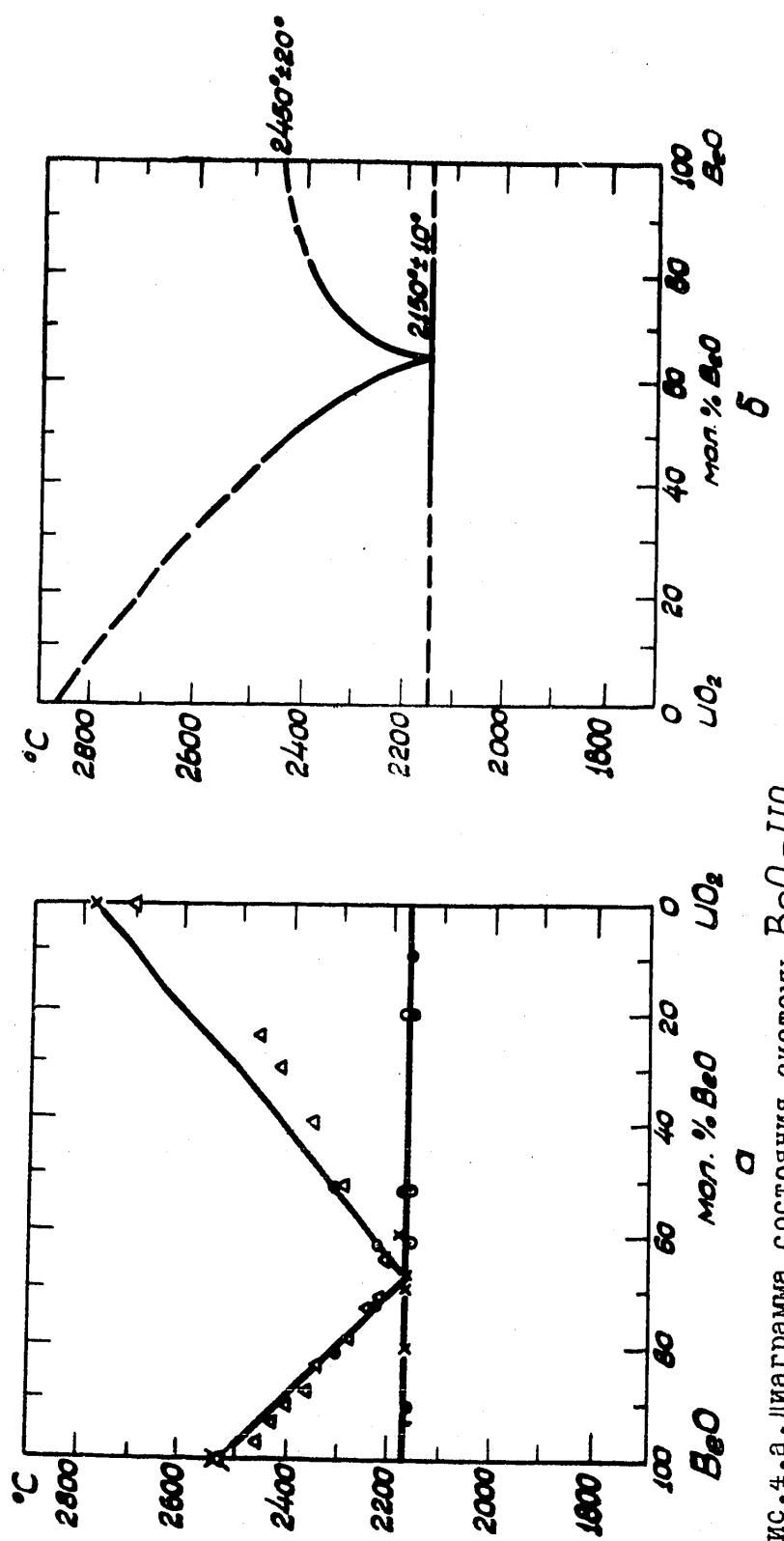


Рис. 4. а. Диаграмма состояния системы $\text{BeO} - \text{UO}_2$ по данным авторов.
 о - температура, определенные термическим анализом; ● - температуры, определенные путем микроструктурного исследования сплавов; △ - температуры, определенные методом деформации конусов; х - температуры, определенные путем визуального исследования сплавов или измерением т-ры образца во время плавления.
 б. Диаграмма состояния системы $\text{BeO} - \text{UO}_2$ по Лангу с сотрудниками

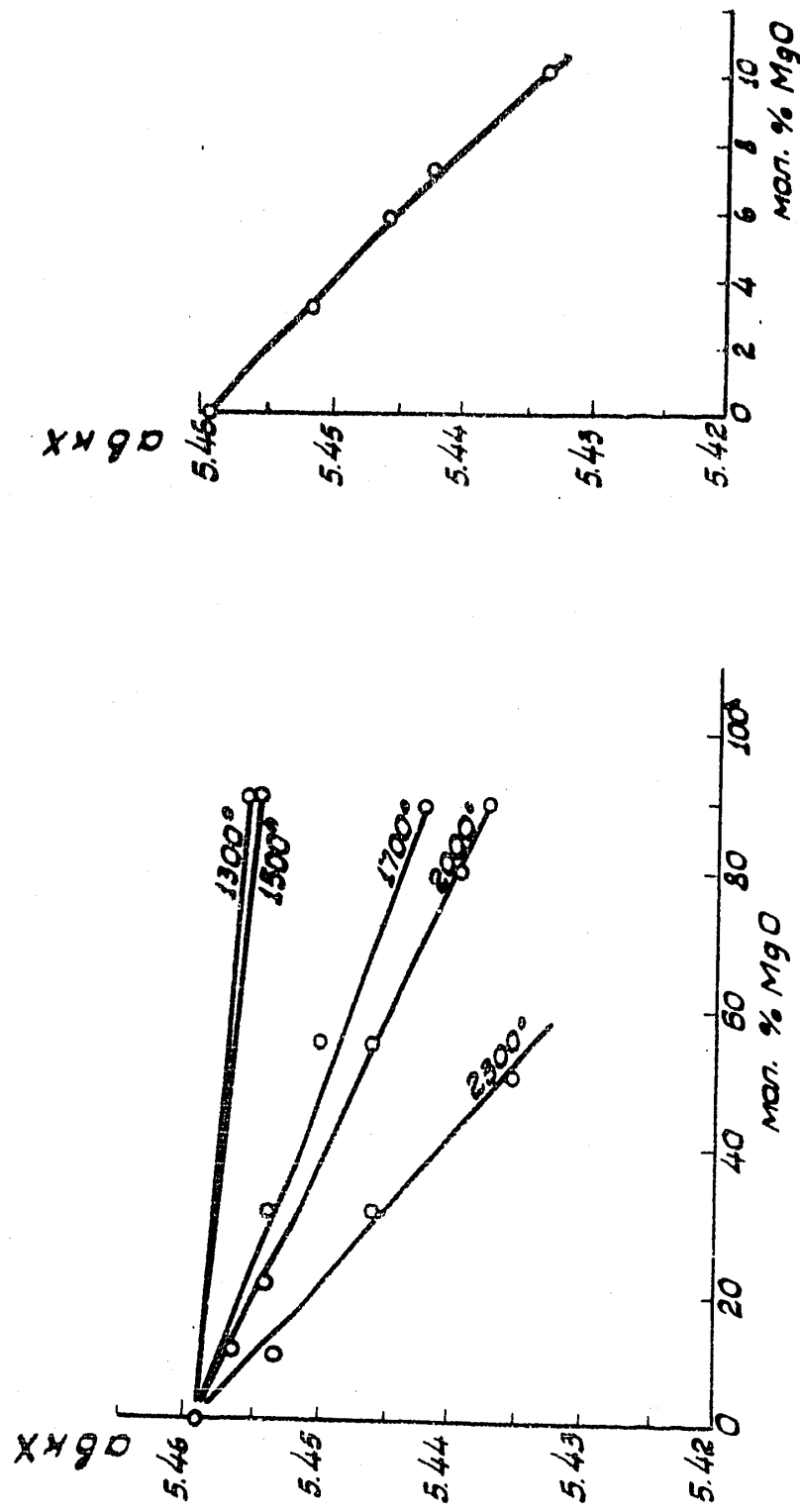


Рис.5. Зависимость $T_{\text{ан}}$ от состава и температуры отжига образцов

Рис.6. Зависимость периода релаксации твердого раствора от его состава

2874-57

-23-

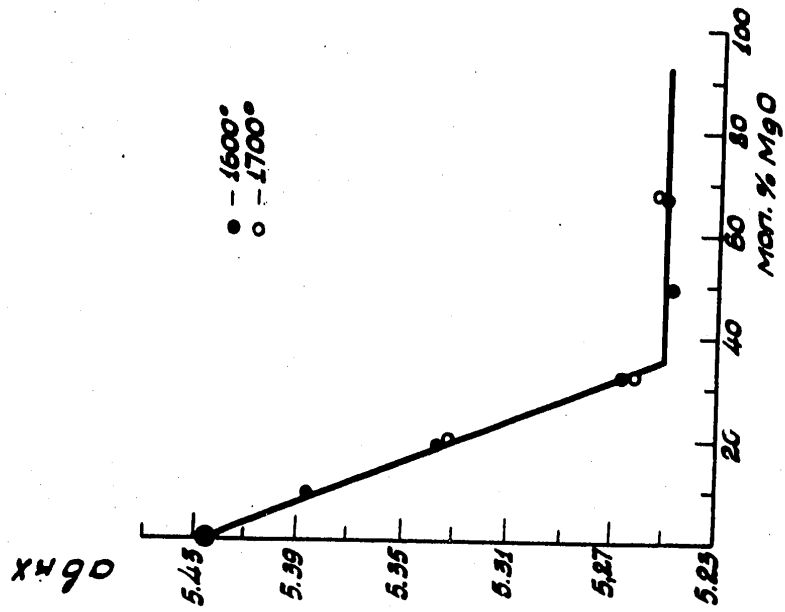


Рис.7. Зависимость периода решетки твердого раствора, синтезированного на воздухе, от состава.

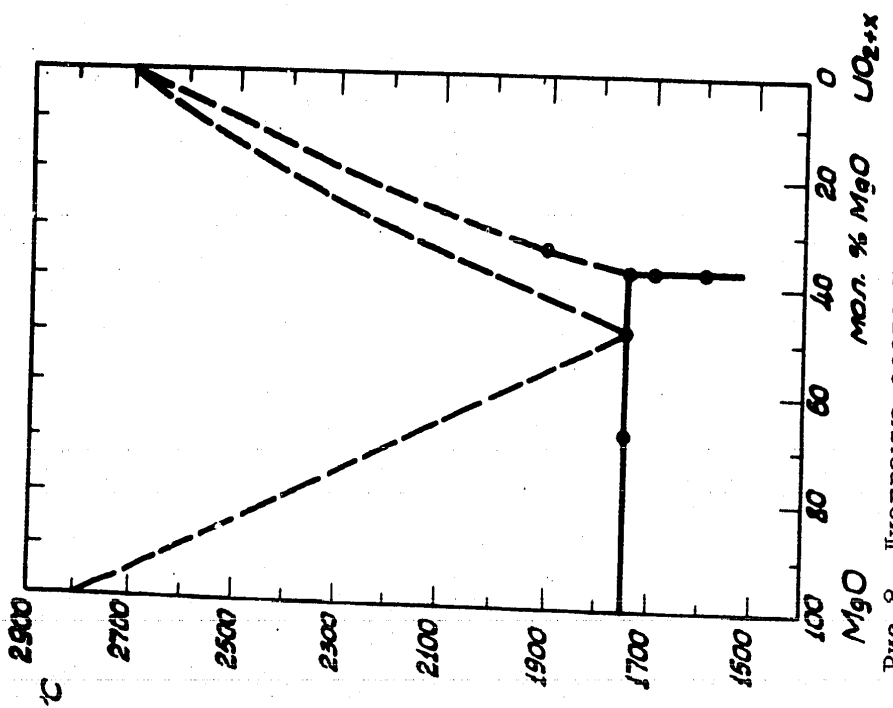


Рис.8. Диаграмма состояния системы MgO - UO_{2+x}, изучения на воздухе.

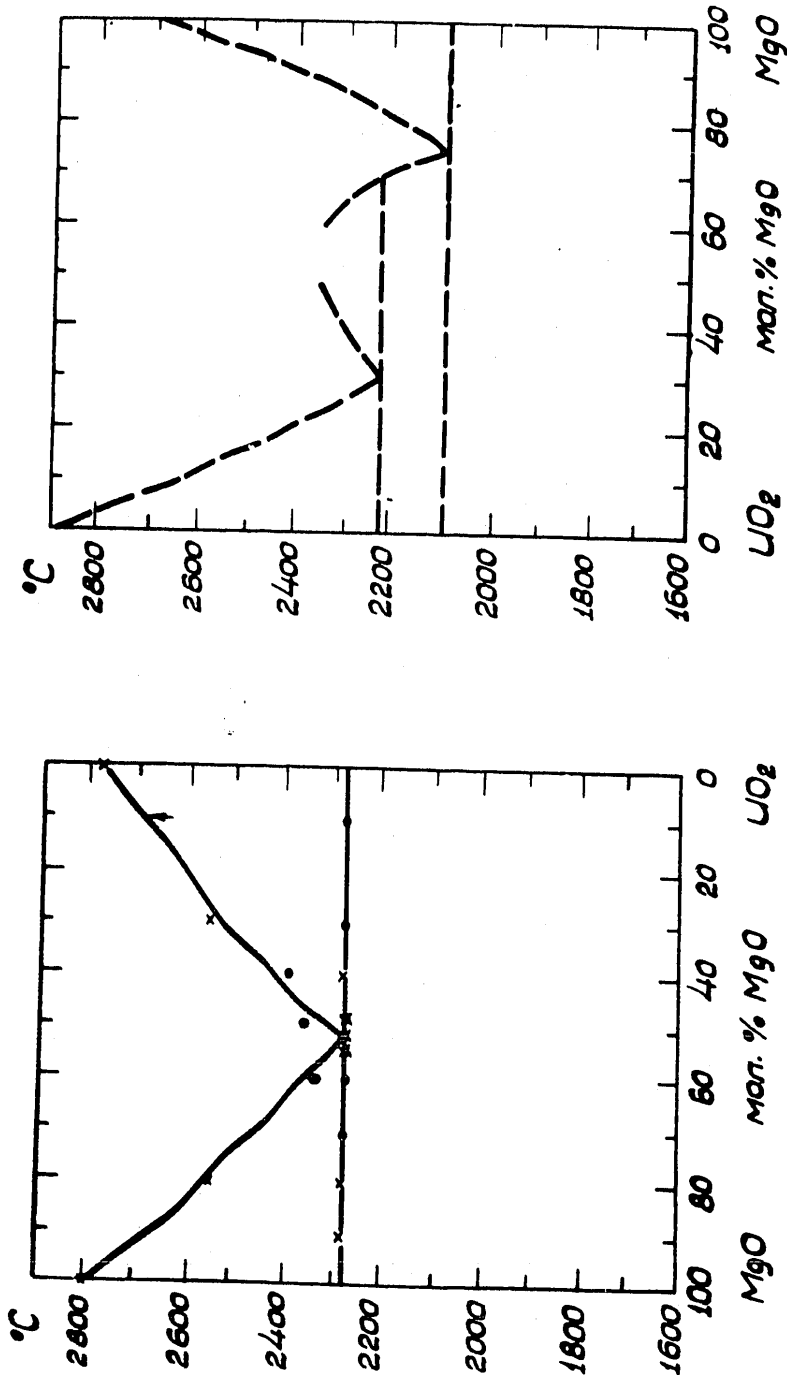


Рис.9. Диаграмма состояния идеализированной системы MgO - UO_2 по данным авторов.
Рис.10. Диаграмма состояния системы MgO - UO_2 по Ламберсону и Миллеру.

Зар 2834